

©1994 г.

## АВТОСОЛИТОНЫ В ТЕМПЕРАТУРНО-НЕОДНОРОДНОЙ ПЛАЗМЕ ГЕРМАНИЯ

*К.М.Алиев, Р.И.Баширов, М.М.Гаджиалиев*

Институт физики им.Х.И. Амирханова Российской академии наук, 367003,  
Махачкала, Россия

(Получено 30 мая 1991 г. Принято к печати 16 октября 1993 г.)

Автосолитоны (АС) могут спонтанно возникать в неравновесной полупроводниковой плазме в результате неустойчивости ее квазиоднородного состояния при изменении уровня возбуждения. В разогретой электронно-дырочной плазме (ЭДП) действует процесс торможения (отрицательная обратная связь) с характерной длиной биполярной диффузии  $L$  и процесс активации (положительная обратная связь) с характерной длиной остыивания носителей  $l_e$ . Необходимым условием существования термодиффузионных автосолитонов в активной распределенной среде является условие  $L \gg l_e$ , т.е. процесс торможения должен быть более дальнодействующим, чем процесс активации. В последние годы Кернер и Осипов [1,2] в многочисленных работах провели численные эксперименты и развили теорию диссипативных структур (ДС).

На возможность возникновения неустойчивости тока в собственных полупроводниках с различными температурными зависимостями подвижностей электронов и дырок впервые указал Шендер [3]. Более корректно эту задачу решил Грибников [4], который назвал эту неустойчивость термодрейфовой. Термодрейф ( $b$ -дрейф) впервые экспериментально наблюдали независимо друг от друга в  $p$ -Ge в работе [5] и в  $n$ -Ge в работе [6]. Ряд устройств с использованием нового типа дрейфа был предложен в [7,8].

В данной работе приводятся результаты экспериментов, показывающие, что в процессе  $b$ -дрейфа спонтанно возникают АС при высоких уровнях возбуждения плазмы вследствие неустойчивости ее квазиоднородного состояния. Были изготовлены образцы из  $p$ -Ge с удельным сопротивлением  $\rho \approx 40$  Ом·см двухпьедестальной ( $I$  образной формы) с размерами рабочей части (перемычки)  $1 \times 1 \times 0.25$  мм<sup>3</sup>. Одним пьедесталом (торцом) образец припаивался к холодильнику, который охла-

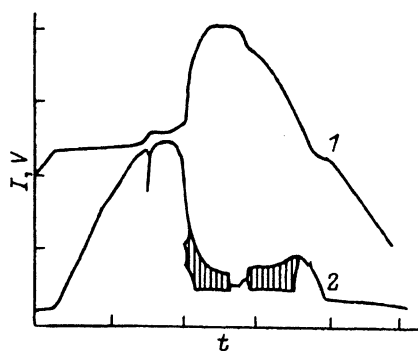


Рис. 1. Временные развертки тока  $I$  (1) и напряжения  $V$  (2). Масштабы по осям:  $t$  — 2 мс/дел.,  $I$  — 0.5 А/дел. (1),  $V$  — 80 В/дел. (2). Температура холодильника 77 К.

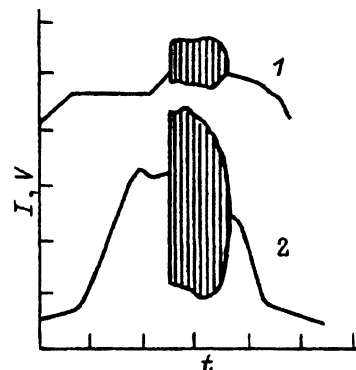


Рис. 2. Временные развертки тока  $I$  (1) и напряжения  $V$  (2). Масштабы по осям:  $t$  — 2 мс/дел.,  $I$  — 1 А/дел. (1),  $V$  — 40 В/дел. (2). Температура холодильника 300 К.

ждался водой или жидким азотом, вдоль образца пропускался переменный ток частотой 50 Гц. Вследствие джоулевого разогрева и отвода тепла холодильником в образце устанавливался постоянный градиент температуры, направленный вдоль или против электрического тока. Возникающий  $b$ -дрейф приводил к выщрямлению тока. На рис. 1, 2 приведены временные развертки напряжения и тока при обратном напряжении смещения. На осциллограммах зависимостей  $I(t)$ ,  $V(t)$  ясно видны «пички» электрического пробоя образца, связанные с образованием домена. Ранее нами [9] было установлено, что при повышении обратного напряжения на образце проявляется термоградиентный дрейфовый (ТГД) домен — область повышенного сопротивления, обедненная носителями заряда вследствие неравномерного градиента температуры вдоль образца. ТГД домен в пропускном направлении был обнаружен в работе [10]. С повышением напряжения ТГД домен смещается к холодному концу образца, сужается, и электрическое поле в нем возрастает вплоть до пробойного. После пробоя домена сопротивление образца уменьшается и через время, соответствующее времени формирования АС в образце, спонтанно возникает пульсирующий АС. По мере изменения управляющего параметра (напряжения) амплитуда АС сложным образом изменяется. В течение обратного полуperiода (в зависимости от амплитуды приложенного напряжения) последовательно возникают и исчезают от 1 до 4 пульсирующих АС. Частота колебаний АС составляет  $10^4$  Гц, что соответствует теории,  $\omega \sim \tau_r^{-1}$ , где  $\tau_r$  — время жизни неравновесных носителей, форма колебаний — релаксационного типа. Экспериментальные условия существования АС удовлетворяют основным требованиям теории [1]. В образце  $p$ -Ge с концентрацией дырок  $N_A - N_D = 10^{14} \text{ см}^{-3}$  в результате экстракции носителей  $b$ -дрейфом ( $\partial T / \partial x \uparrow \downarrow j$ ,  $j$  — плотность тока) образуется почти собственная квазинейтральная ЭДП с близкими параметрами электронов и дырок. Когда градиент  $\partial T / \partial x$  противоположен направлению плотности тока  $j$ ,  $b$ -дрейф изменяет (уменьшает) концентрацию дырок

в основном за счет высокой напряженности электрического поля:

$$p(x) - p_0(x) = \frac{np}{q(bn + p^2)} j \tau_r \frac{db}{dx}, \quad (1)$$

где с учетом электрического поля [10]

$$\frac{1}{b} \cdot \frac{db}{dx} = [(\alpha - \beta) + AE^2] \frac{1}{T} \cdot \frac{dT}{dx}. \quad (2)$$

Здесь  $b = \mu_n/\mu_p$ ,  $(\alpha - \beta)$  — разность показателей в зависимостях  $\mu_n \sim T^\alpha$ ,  $\mu_p \sim T^\beta$ ,  $q$  — заряд электрона,  $E$  — электрическое поле,  $p$ ,  $n$  — концентрации дырок и электронов, знак  $A$  такой же, как у разности  $(\alpha - \beta)$ , в германии при  $T = 300$  К  $A = 7 \cdot 10^{-7}$  см<sup>2</sup>/В<sup>2</sup>. Вклад слагаемого  $AE^2$  в обратном направлении в выражение (1) является существенным.

В условиях нашего эксперимента характерная длина остыивания носителей  $l_e \simeq 10^{-4}$  см  $\ll L \simeq 10^{-2}$  см,  $\gamma + S > -1$ , где  $S = \partial \ln \tau_e / \partial \ln T$ ,  $\gamma = \partial \ln \tau_p / \partial \ln T$ ,  $\tau_p$ ,  $\tau_e$  — время релаксации импульса и энергии носителей. Разогревающая ЭДП мощность  $N = j/\sigma \sim T/nD(T)$  ( $D$  — коэффициент биполярной диффузии) является управляющим параметром системы, который имеет положительную обратную связь с температурой носителей. Термодиффузионный выброс горячей плазмы из центра АС ограничивается диффузионным потоком холодной плазмы от периферии к центру АС с длиной биполярной диффузии. Так как в эксперименте реализуются условия  $\tau_p \ll \tau_e \ll \tau$ , где  $\tau = cT/E^2\sigma$  — характерное время изменения температуры образца,  $c$  — теплоемкость единицы объема образца, электронная подсистема успевает многократно обменяться с решеткой импульсом и энергией, прежде чем температура образца изменится. Когда холодильник охлаждался водой, наблюдалось возникновение только одного пульсирующего термодиффузионного положительного поперечного АС, причем амплитуда пульсации температуры и электрического поля АС была ограничена полем пробоя ТГД домена.

Эта работа, в частности, была поддержанна грантом Международного научного фонда Сороса, присужденным Американским физическим обществом.

### Список литературы

- [1] Б.С. Кернер, В.В. Осипов. УФН, **157**, 201 (1989).
- [2] Б.С. Кернер, В.В. Осипов. УФН, **160**, 1 (1990).
- [3] Е.Ф. Шендер. ФТП, **2**, 314 (1968).
- [4] З.С. Грибников. ФТП, **14**, 2188 (1980).
- [5] Х.И. Амирханов, Р.И. Баширов, К.М. Алиев, М.М. Гаджиалиев. Письма ЖТФ, **4**, 660 (1978); А.с. СССР № 699962 (1975).
- [6] В.Н. Добровольский, С.П. Павлюк, Л.И. Тараканко. ФТП, **11**, 144 (1977).
- [7] Х.И. Амирханов, Р.И. Баширов, К.М. Алиев, М.М. Гаджиалиев. А.с. СССР № 698460 (1977); А.с. СССР № 786744 (1979); А.с. СССР № 838197 (1980); А.с. СССР № 839403 (1979).

- [8] Х.И. Амирханов, Р.И. Баширов, К.М. Алиев, М.М. Гаджиалиев. ЖТФ, 54, 953 (1984); Патент Канады № 1175478 (1984); Патент Великобритании № 2107520В (1985); Патент Австралии № 544672 (1985); Патент Швеции № 18205848-81986; Патент Италии № 137119 (1986); Патент ФРГ № 3152734C2 (1985); Патент Швейцарии № CH 662445175 (1987).
- [9] Х.И. Амирханов, Р.И. Баширов, В.А. Елизаров. Фото- и электрические явления в полупроводниках, 51. Махачкала (1985).
- [10] В.Н. Добровольский, С.П. Павлюк. ФТП, 15, 120 (1981).

Редактор Т.А. Полянская

---